

Компьютерная графика и визуализация в реальном времени

Лекция 1

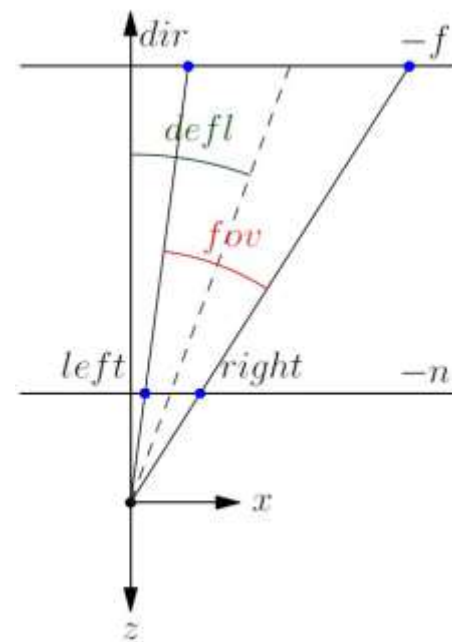
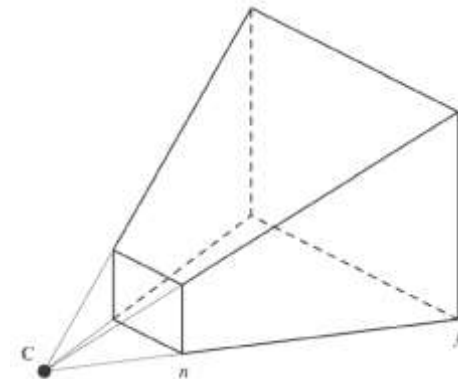
Пирамида видимости, проективные
преобразования, графический конвейер

Алексей Романов

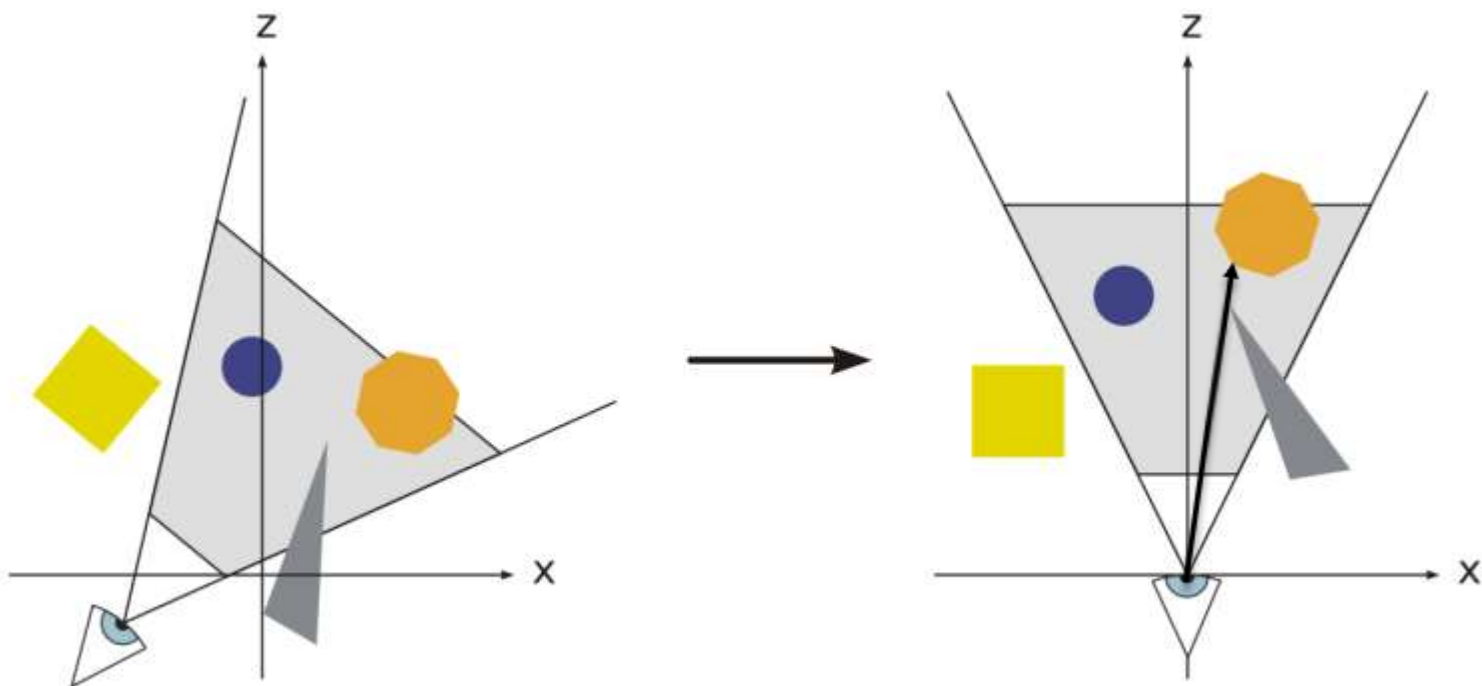
Пирамида видимости

Задается в систем координат камеры

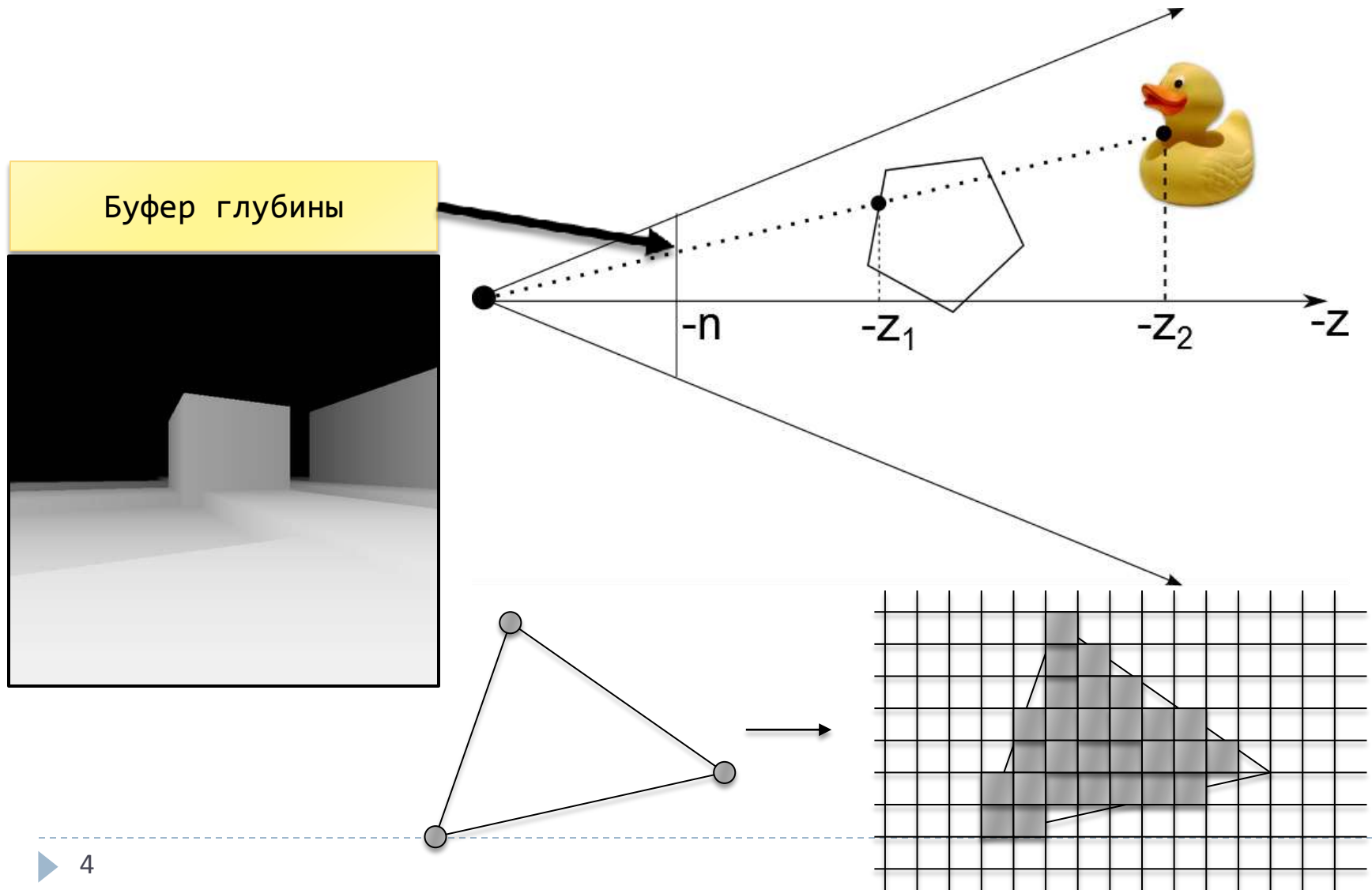
n (near)	Расстояние до ближней плоскости
f (far)	Расстояние до дальней плоскости
fov (field of view)	Угол обзора
defl (deflection)	Угол отклонения



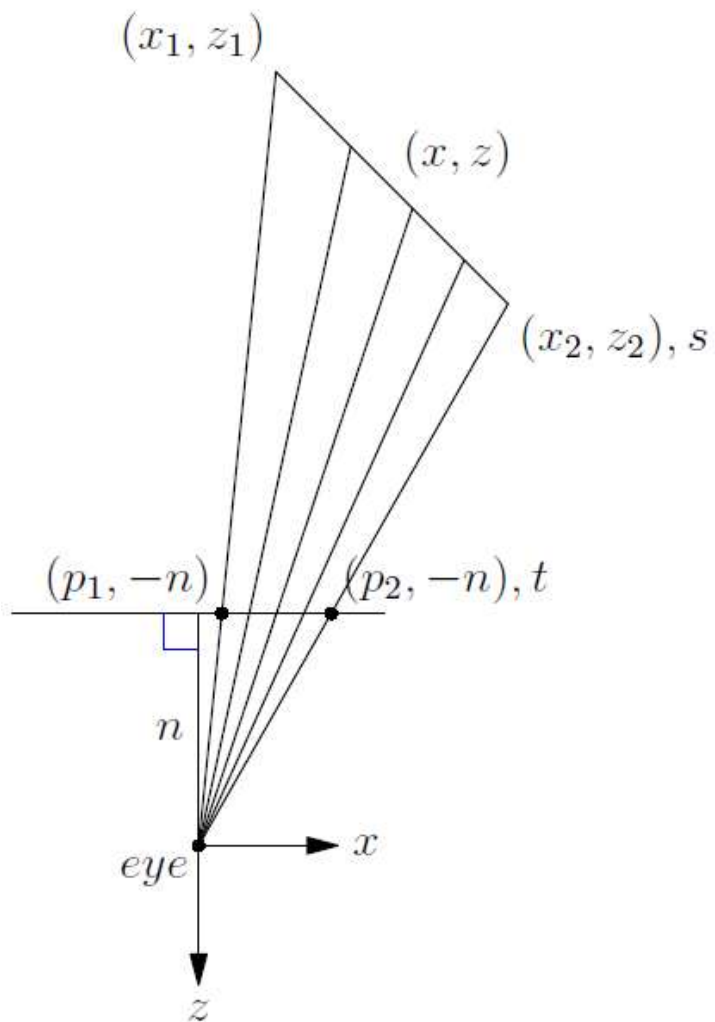
- ▶ Перевод в систему координат камеры
- ▶ Преобразование проекции



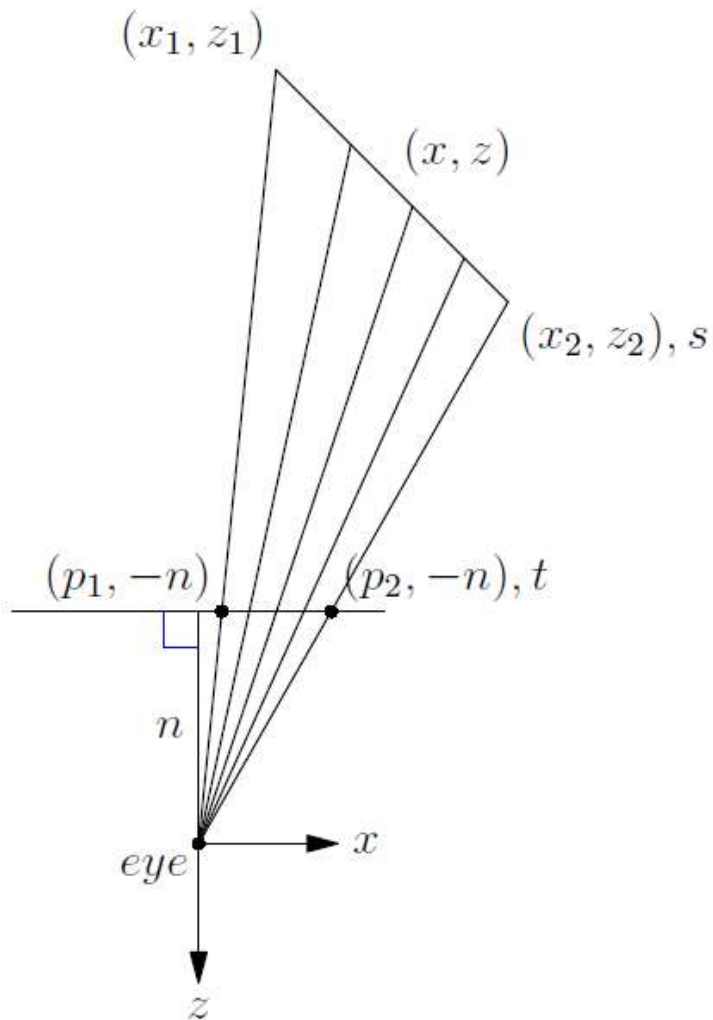
Удаление невидимых поверхностей, z тест (тест глубины)



Интерполяция глубины



Интерполяция глубины



$$ax + bz = c, (c \neq 0)$$

$$\frac{p}{x} = \frac{-n}{z}$$

$$\left(-\frac{ap}{n} + b\right)z = c$$

$$\frac{1}{z} = -\frac{ap}{cn} + \frac{b}{c}$$

$$\frac{1}{z} = -\frac{ap_1}{cn}(1-t) - \frac{ap_2}{cn}t + \frac{b}{c}$$

$$\frac{1}{z} = \left(-\frac{ap_1}{cn} + \frac{b}{c}\right)(1-t) + \left(-\frac{ap_2}{cn} + \frac{b}{c}\right)t$$

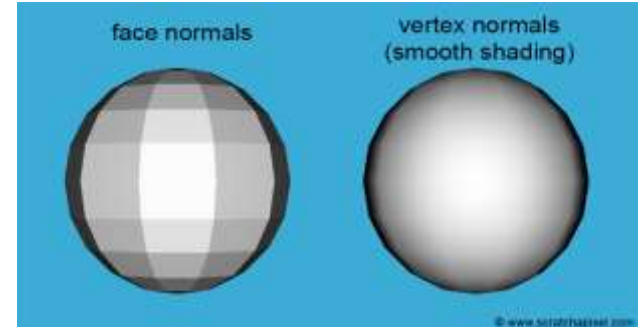
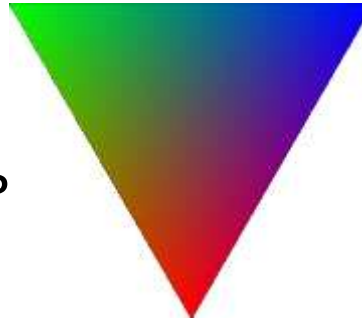
$$\frac{1}{z} = \frac{1}{z_1}(1-t) + \frac{1}{z_2}t$$

Линейно интерполируется
обратная глубина

Интерполяция атрибутов

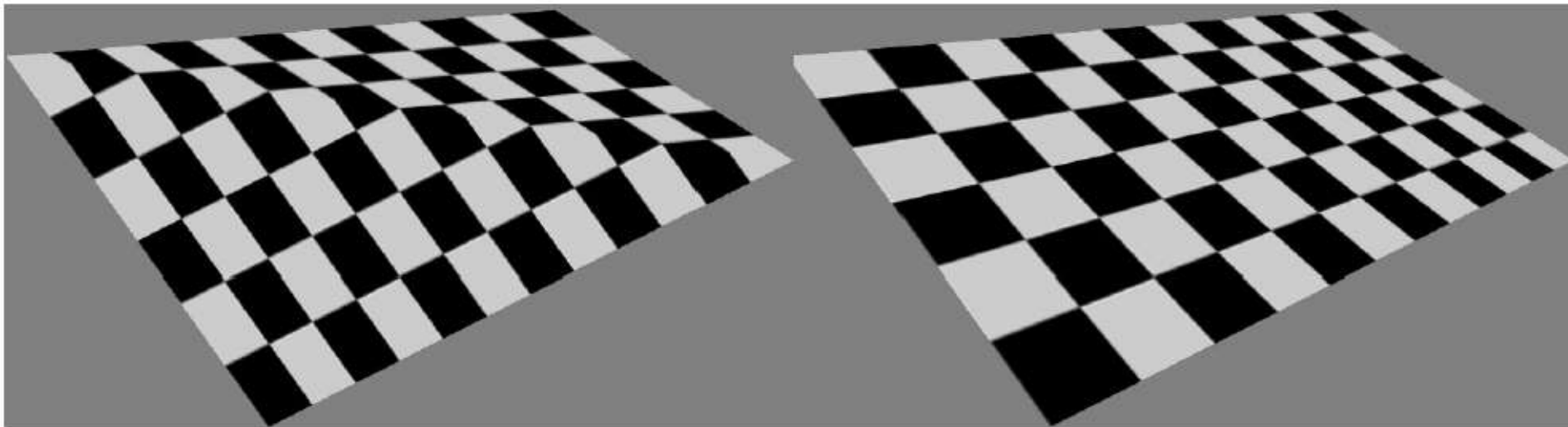
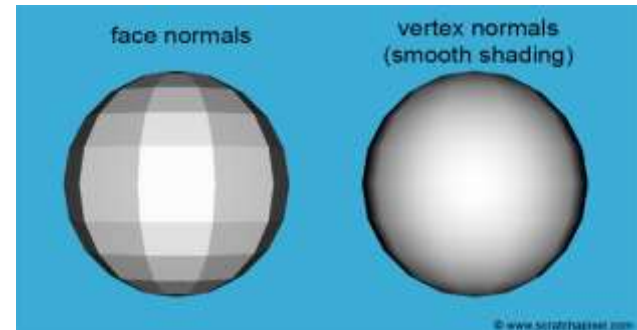
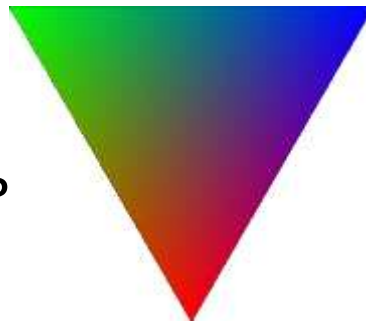
Интерполяция атрибутов

- ▶ Цвет
- ▶ Нормаль
- ▶ Текстурные координаты
- ▶ ...



Интерполяция атрибутов

- ▶ Цвет
- ▶ Нормаль
- ▶ Текстурные координаты
- ▶ ...



Линейная (слева) и перспективно-корректная (справа) интерполяция текстурных координат

Интерполяция атрибутов

$$b = b_1(1 - s) + b_2s$$

$$z = z_1(1 - s) + z_2s$$

$$s = \frac{tz_1}{tz_1 + (1 - t)z_2}$$

$$\frac{b}{z} = \frac{b_1}{z_1}(1 - t) + \frac{b_2}{z_2}t$$

Линейно интерполируется отношение значения атрибута и глубины

Вывод матрицы перспективной проекции

- ▶ Проекция на ближнюю плоскость пирамиды видимости

$$P = (P_x, P_y, P_z, 1)$$
$$x = -\frac{n}{P_z} P_x \quad y = -\frac{n}{P_z} P_y$$

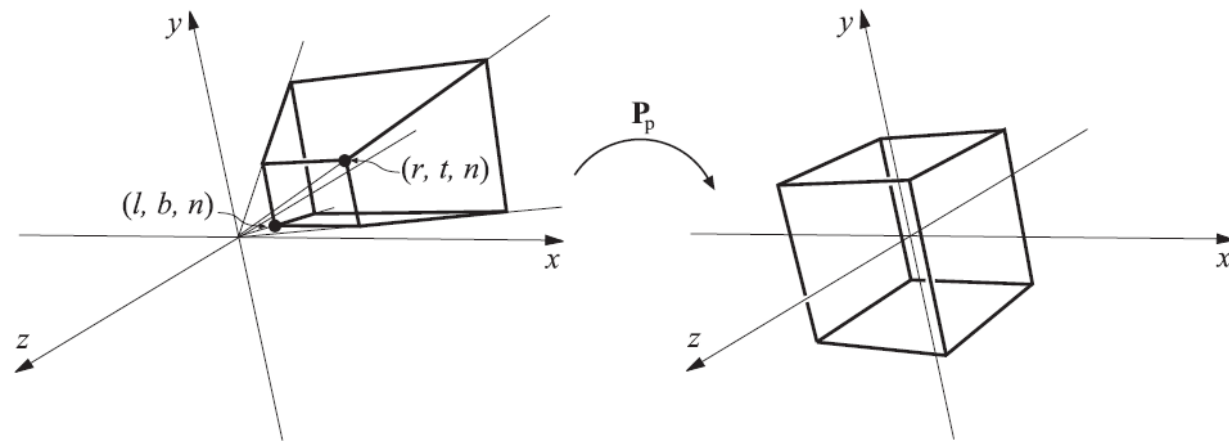
- ▶ Масштабирование до границ единичного куба

$$x' = (x - l) \frac{2}{r - l} - 1$$

$$y' = (y - b) \frac{2}{t - l} - 1$$

$$x' = \frac{2n}{r - l} \left(-\frac{P_x}{P_z} \right) - \frac{r + l}{r - l}$$

$$y' = \frac{2n}{t - b} \left(-\frac{P_y}{P_z} \right) - \frac{t + b}{t - b}$$



Вычисление псевдо глубины

В силу линейной интерполяции обратных величин псевдо глубина ищется в виде

$$z' = \frac{A}{z} + B$$

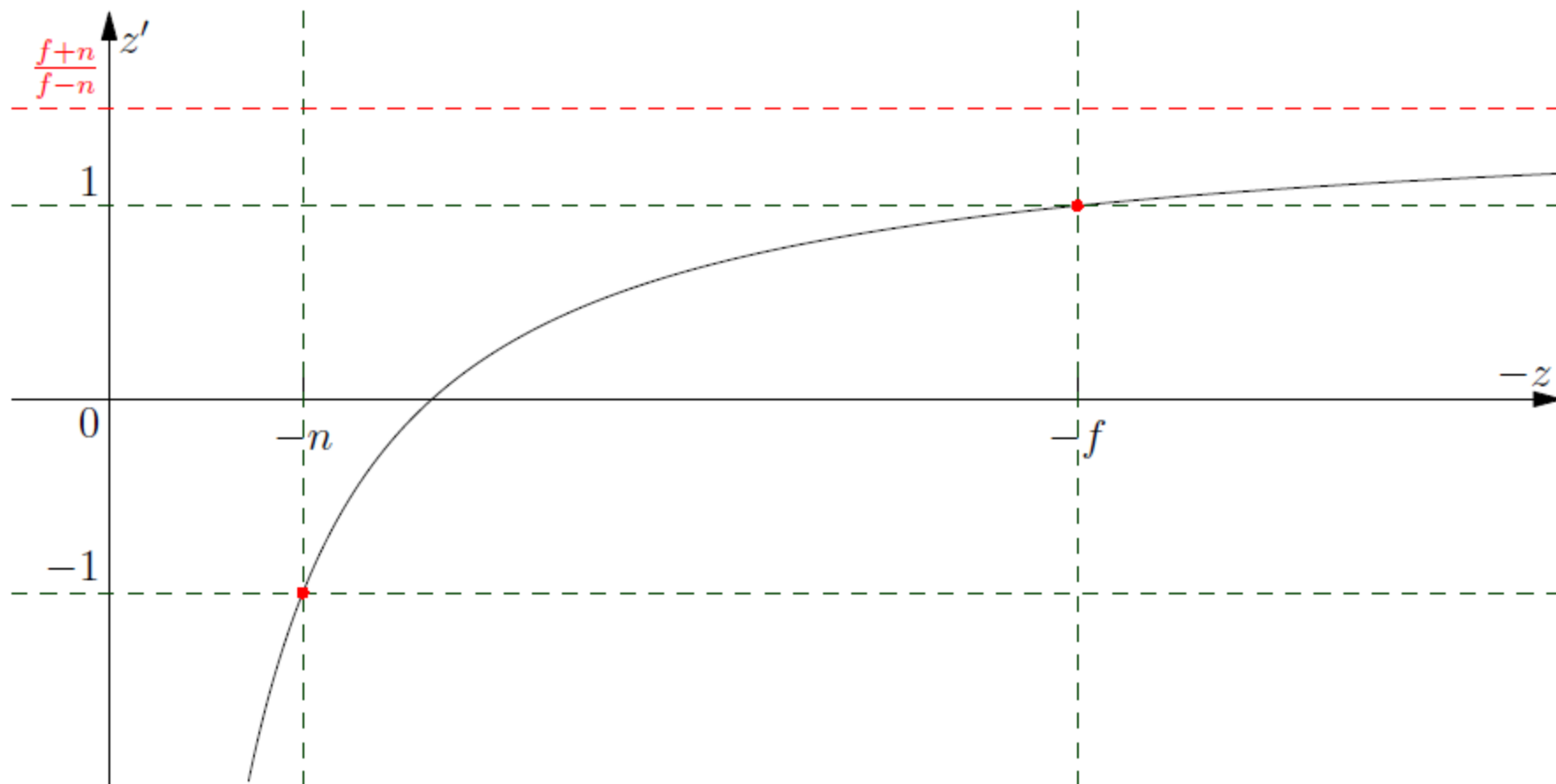
$$-n \rightarrow -1 \quad -f \rightarrow 1$$

$$z' = -\frac{2nf}{f-n} \left(-\frac{1}{P_z} \right) + \frac{f+n}{f-n}$$

$$x' = \frac{2n}{r-l} \left(-\frac{P_x}{P_z} \right) - \frac{r+l}{r-l}$$

$$y' = \frac{2n}{t-b} \left(-\frac{P_y}{P_z} \right) - \frac{t+b}{t-b}$$

Псевдо глубина



Переход к однородным координатам

$$P' = (x', y', z') \equiv (x', y', z', 1) \equiv (-x'P_z, -y'P_z, -z'P_z, -P_z)$$

$$-x'P_z = \frac{2n}{r-l}P_x + \frac{r+l}{r-l}P_z$$

$$-y'P_z = \frac{2n}{t-b}P_y + \frac{t+b}{t-b}P_z$$

$$-z'P_z = -\frac{f+n}{f-n}P_z - \frac{2nf}{f-n}$$

Перспективная проекция

$$P' = M_{frustum}P = \begin{pmatrix} \frac{2n}{r-l} & 0 & \frac{r+l}{r-l} & 0 \\ 0 & \frac{2n}{t-b} & \frac{t+b}{t-b} & 0 \\ 0 & 0 & -\frac{f+n}{f-n} & -\frac{2nf}{f-n} \\ 0 & 0 & -1 & 0 \end{pmatrix} \begin{pmatrix} P_x \\ P_y \\ P_z \\ 1 \end{pmatrix}$$

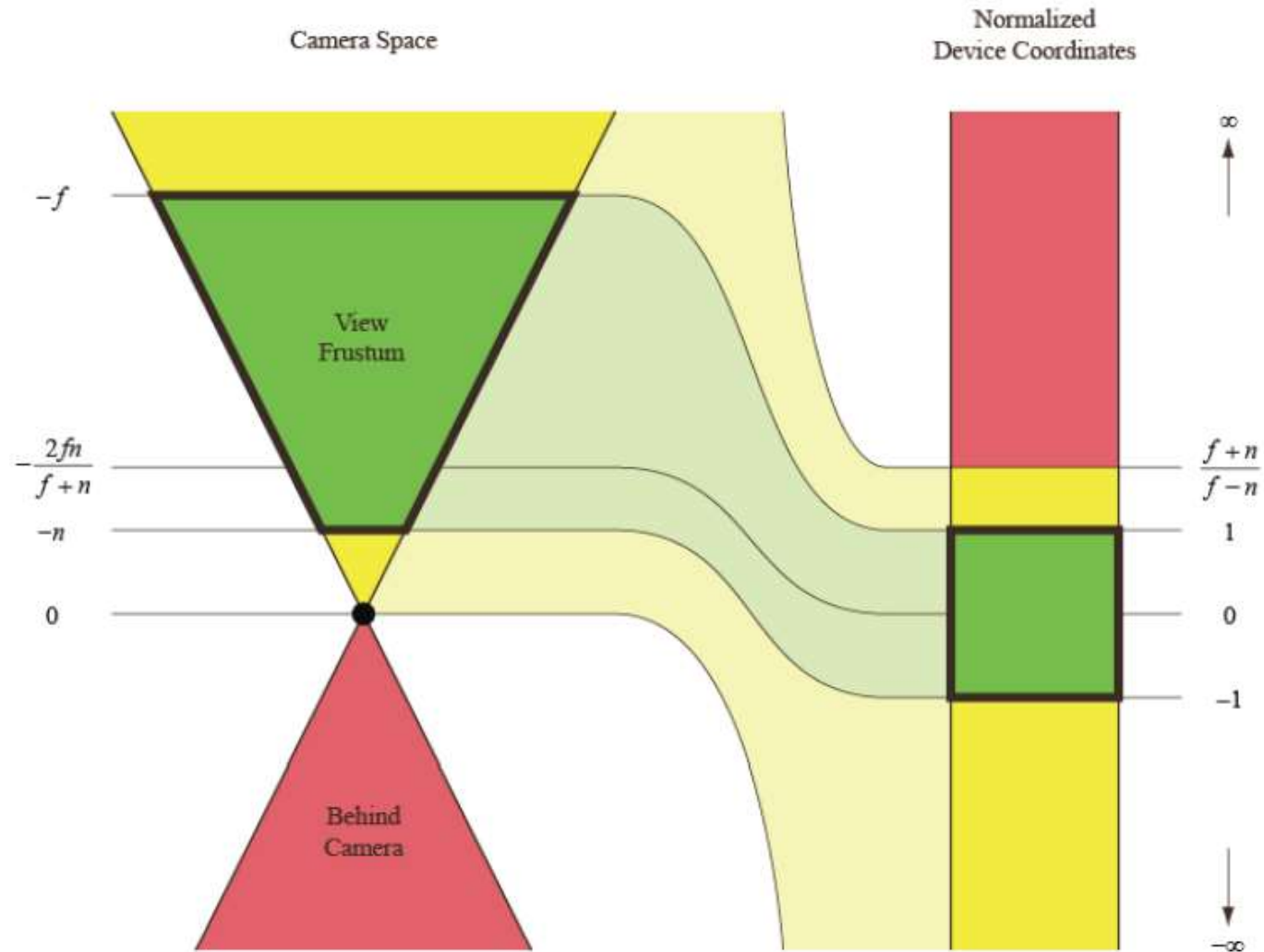
$-f \rightarrow \infty$:

$$M_{inf} = \begin{pmatrix} \frac{2n}{r-l} & 0 & \frac{r+l}{r-l} & 0 \\ 0 & \frac{2n}{t-b} & \frac{t+b}{t-b} & 0 \\ 0 & 0 & -1 & -2n \\ 0 & 0 & -1 & 0 \end{pmatrix}$$

Ортографическая проекция

$$M_{ortho} = \begin{pmatrix} \frac{2}{r-l} & 0 & 0 & -\frac{r+l}{r-l} \\ 0 & \frac{2}{t-b} & 0 & -\frac{t+b}{t-b} \\ 0 & 0 & -\frac{2}{f-n} & -\frac{f+n}{f-n} \\ 0 & 0 & 0 & 1 \end{pmatrix}$$

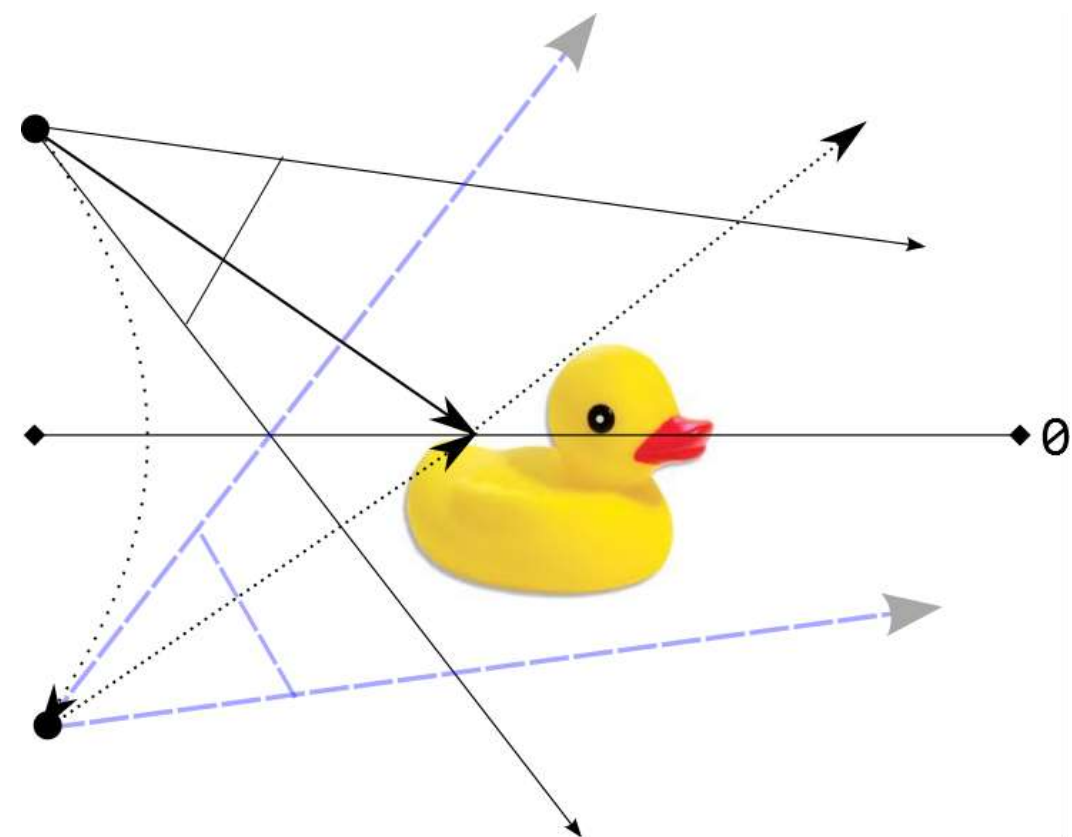
Распределение псевдо глубины пирамиды видимости



Oblique clipping (косое отсечение)

- ▶ Возможность модифицировать матрицу проекции для замены отсечение по ближней плоскости отсечению на произвольную
- ▶ Применяется при построении карты отражений

Косое отсечение в отражениях

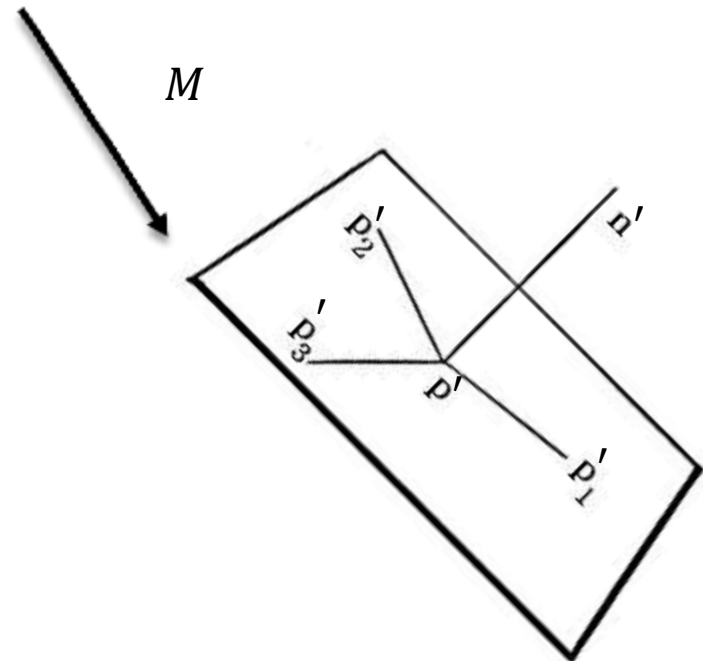
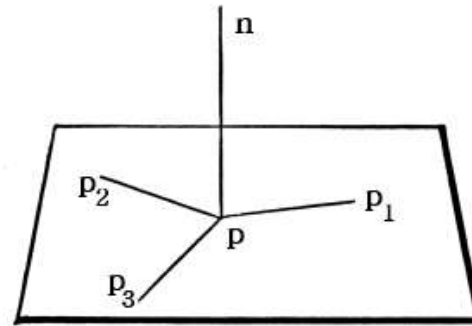


Косое отсечение в отражениях

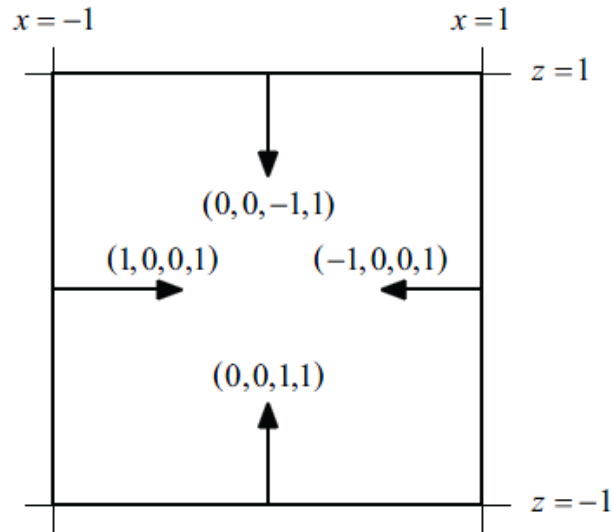


NB: Преобразование нормалей/плоскостей

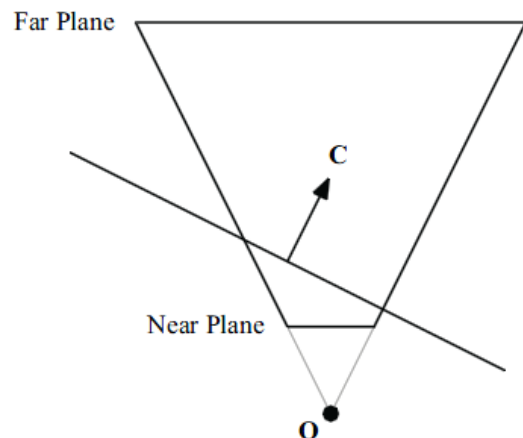
- ▶ $(\bar{p} - \bar{p}_0)\bar{n} = 0$
- ▶ $(p - p_0)^T n = 0$
- ▶ $(Mp - Mp_0)^T n' = 0$
- ▶ $(p - p_0)^T M^T n' = 0$
- ▶ $M^T n' = n\alpha$
- ▶ $\alpha = 1$
- ▶ $n' = M^{T^{-1}}n$



Oblique clipping

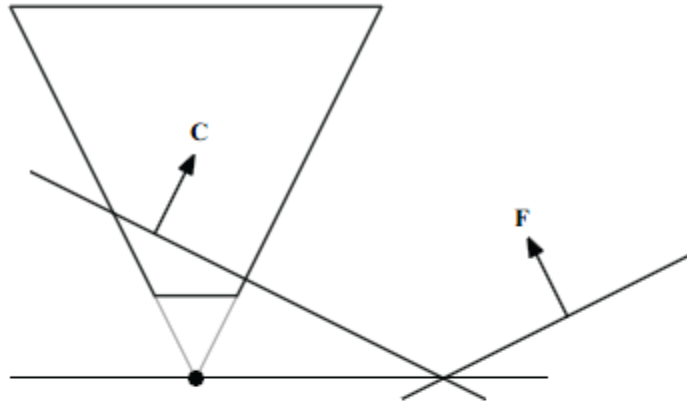


Near	$\langle 0, 0, 1, 1 \rangle$	$\mathbf{M}_4 + \mathbf{M}_3$
Far	$\langle 0, 0, -1, 1 \rangle$	$\mathbf{M}_4 - \mathbf{M}_3$
Left	$\langle 1, 0, 0, 1 \rangle$	$\mathbf{M}_4 + \mathbf{M}_1$
Right	$\langle -1, 0, 0, 1 \rangle$	$\mathbf{M}_4 - \mathbf{M}_1$
Bottom	$\langle 0, 1, 0, 1 \rangle$	$\mathbf{M}_4 + \mathbf{M}_2$
Top	$\langle 0, -1, 0, 1 \rangle$	$\mathbf{M}_4 - \mathbf{M}_2$



Oblique clipping

(a)

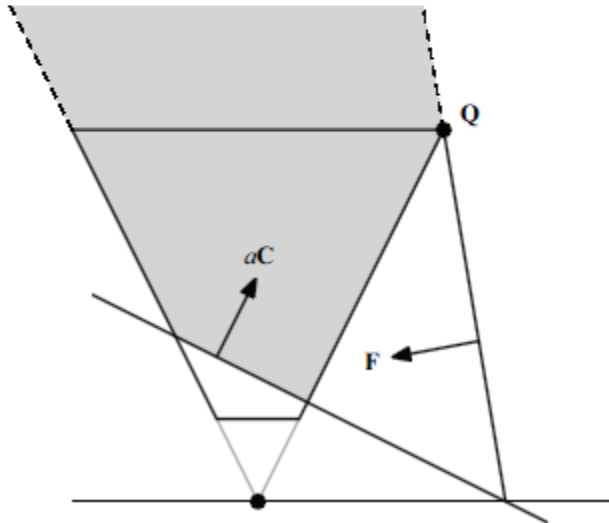


$$C = M_4 + M_3.$$

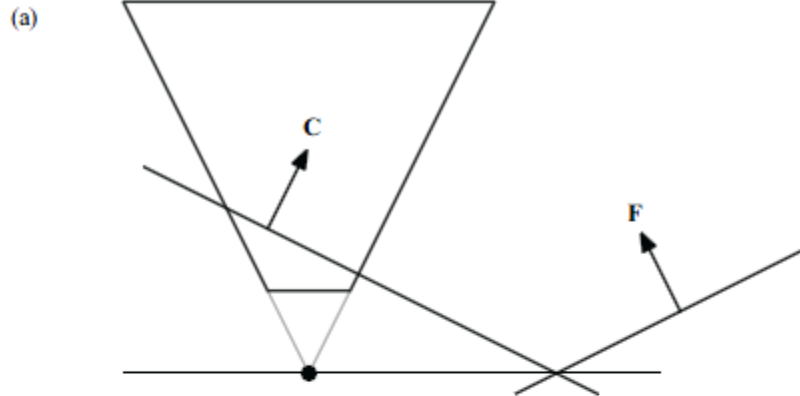
$$M'_3 = C - M_4.$$

$$F = M_4 - M'_3 \\ = 2M_4 - C.$$

(b)



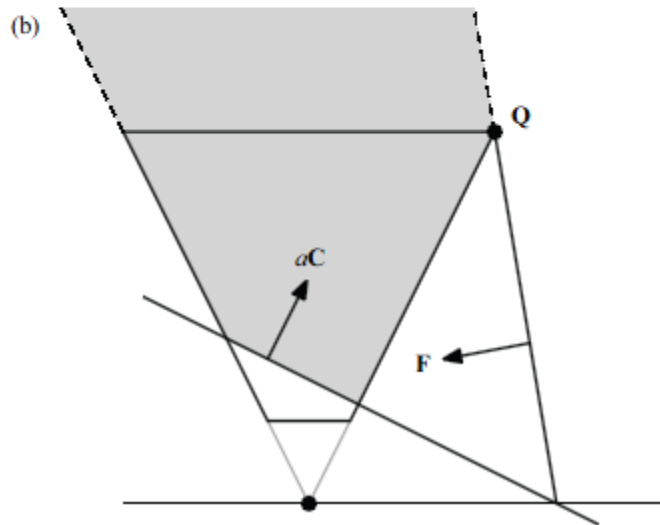
Oblique clipping



$$C = M_4 + M_3.$$

$$M'_3 = C - M_4.$$

$$F = M_4 - M'_3 \\ = 2M_4 - C.$$



$$C' = (M^{-1})^T C$$

$$Q' = \langle \text{sgn}(C'_x), \text{sgn}(C'_y), 1, 1 \rangle.$$

$$F = 2M_4 - aC.$$

$$a = \frac{2M_4 \cdot Q}{C \cdot Q}.$$

$$M'_3 = aC - M_4$$

Преобразование проекции

- ▶ Перспективно-корректная интерполяция глубины

$$\frac{1}{z} = \frac{1}{z_1}(1 - t) + \frac{1}{z_2}t$$

- ▶ Перспективно-корректная интерполяция атрибутов

$$\frac{b}{z} = \frac{b_1}{z_1}(1 - t) + \frac{b_2}{z_2}t$$

- ▶ Матрица перспективной и ортографической проекции

$$\begin{pmatrix} \frac{2n}{r-l} & 0 & \frac{r+l}{r-l} & 0 \\ 0 & \frac{2n}{t-b} & \frac{t+b}{t-b} & 0 \\ 0 & 0 & -\frac{f+n}{f-n} & -\frac{2nf}{f-n} \\ 0 & 0 & -1 & 0 \end{pmatrix} \quad \begin{pmatrix} \frac{2}{r-l} & 0 & 0 & -\frac{r+l}{r-l} \\ 0 & \frac{2}{t-b} & 0 & -\frac{t+b}{t-b} \\ 0 & 0 & -\frac{2}{f-n} & -\frac{f+n}{f-n} \\ 0 & 0 & 0 & 1 \end{pmatrix}$$

- ▶ Преобразование нормалей

$$p' = M_{o \rightarrow v} p$$

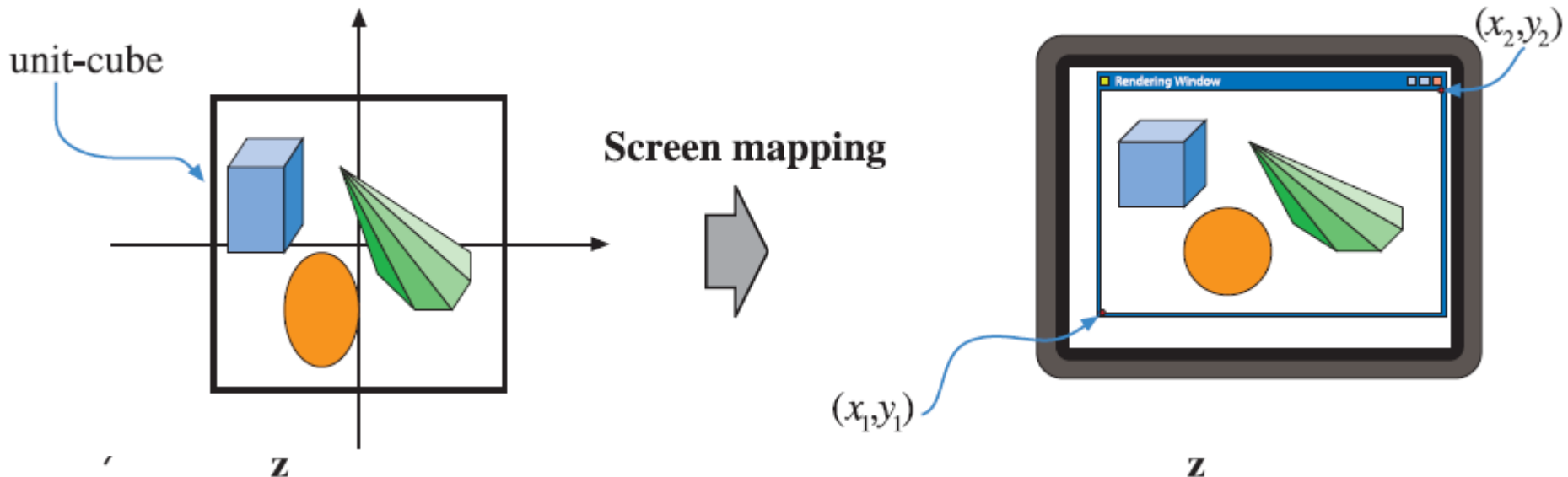
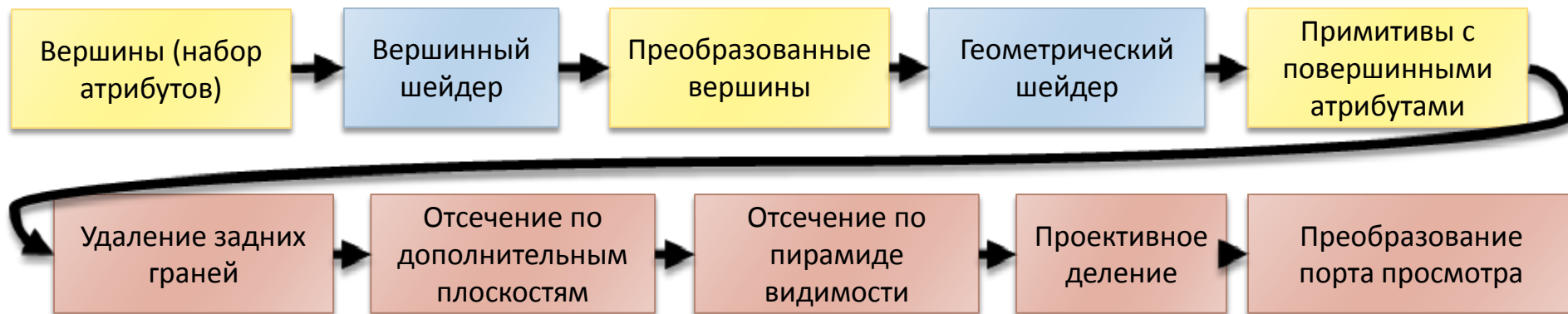
$$n' = M_{o \rightarrow v}^{-1T} n$$

- ▶ Модификация матрицы проекции для косого отсечения

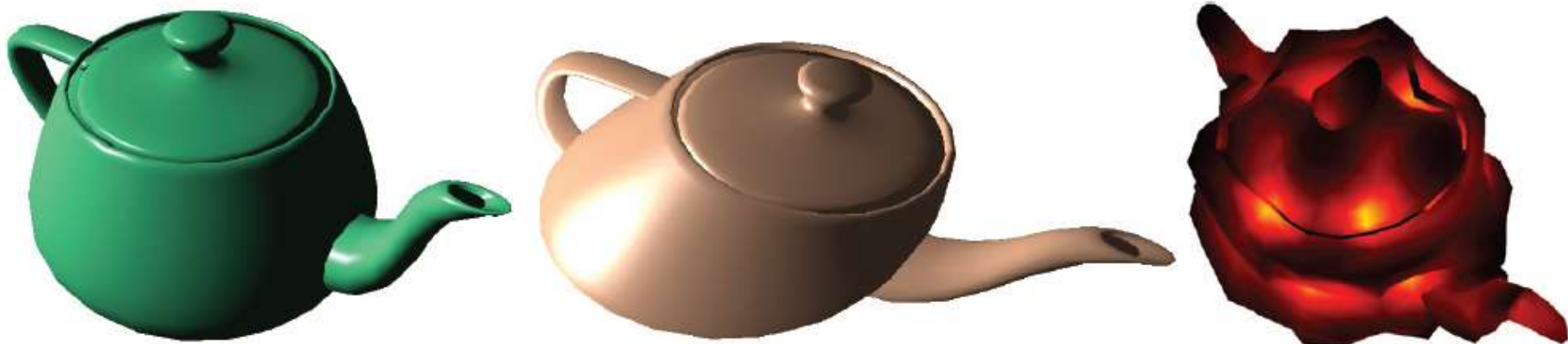
$$a = \frac{2\mathbf{M}_4 \cdot \mathbf{Q}}{\mathbf{C} \cdot \mathbf{Q}}$$

$$\mathbf{M}'_3 = a\mathbf{C} - \mathbf{M}_4$$

Схема обработки геометрии

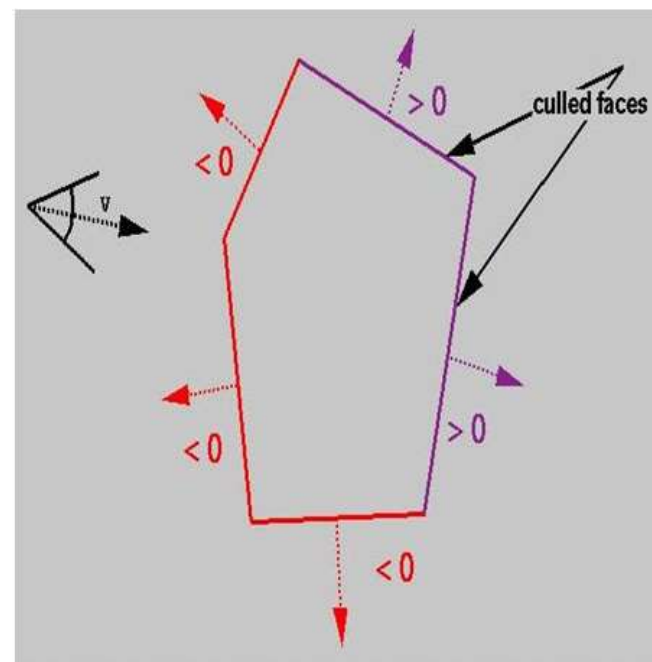
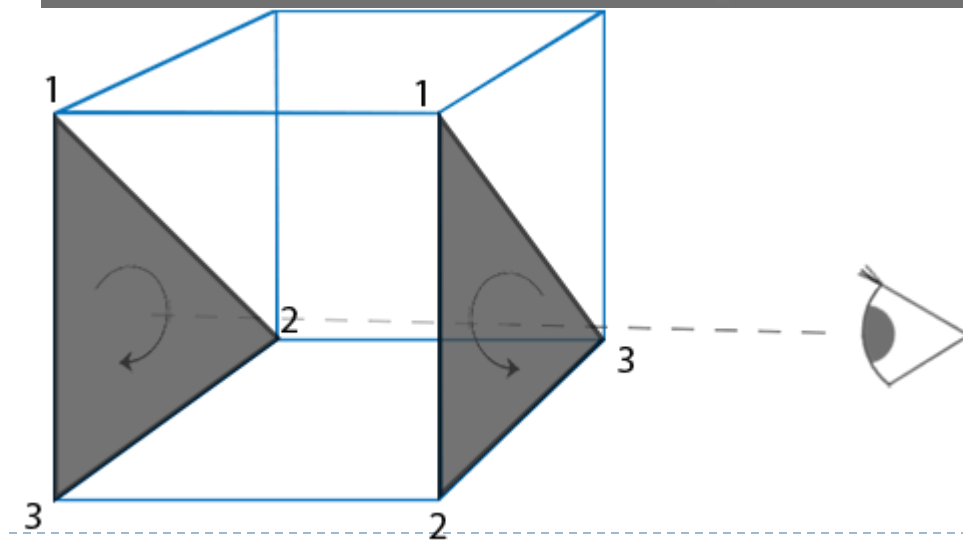
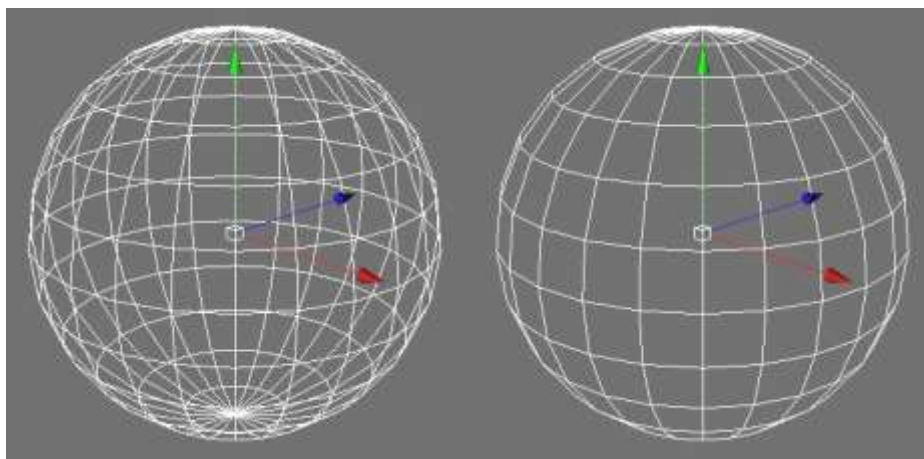


Пример обработки геометрии



Оптимизация: удаление задних граней

- ▶ Применяется для замкнутой геометрии



Растеризация в OpenGL

Спроецированный
примитив на экран с
атрибутом в вершинах

Растеризация
треугольника

Фрагментный
шейдер

Тест глубины,
Scissor тест, ...

Композиция в
буфер кадра
(blending)



Примеры выполнения фрагментного шейдера

Смешивание цветов

Общий вид

$$c_r = \phi_c(c_s f_1, c_d f_2)$$

$$a_r = \phi_a(a_s f_3, a_d f_4)$$

r — результат

s — растеризуемый фрагмент

d — целевой буфер

c — цвет

a — прозрачность

f_i — множитель аргумента

ϕ — функция смешивания

Типы функции смешивания ϕ

$$\phi(a_s, a_d) = a_s + a_d$$

$$\phi(a_s, a_d) = a_s - a_d$$

$$\phi(a_s, a_d) = a_d - a_s$$

$$\phi(a_s, a_d) = \max(a_s, a_d)$$

$$\phi(a_s, a_d) = \min(a_s, a_d)$$

Типы множителей

$$f = 1$$

$$f = 0$$

$$f = 1 - s_{[a|c]}$$

$$f = 1 - d_{[a|c]}$$

$$f = s_{[a|c]}$$

$$f = d_{[a|c]}$$

Популярные функции смешивания

Alpha blend

$$c_r = c_s a_s + c_d(1 - a_s)$$

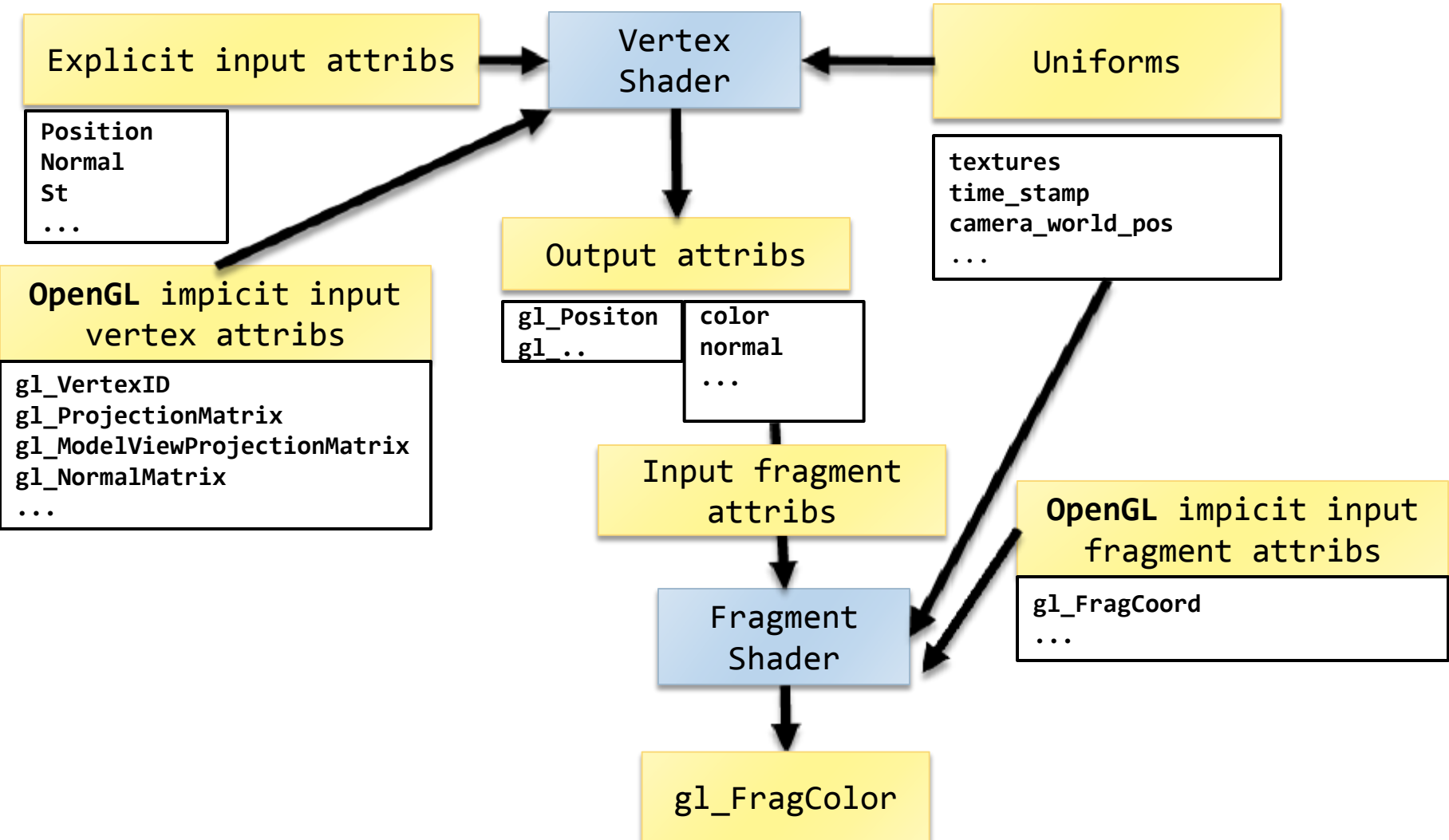
Additive blend

$$c_r = c_s a_s + c_d$$



Blend режим (слева) и additive режим *справа*

Vertex->fragment shader



Отрисовка в OpenGL

```
GLuint vbo;
void * vx_data;

glGenBuffersARB(1, &vbo);
glBindBufferARB(GL_ARRAY_BUFFER_ARB, vbo);
glBufferDataARB(GL_ARRAY_BUFFER_ARB, data_size_in_bytes, vx_data, GL_STATIC_DRAW_ARB);

glBindBufferARB(GL_ARRAY_BUFFER_ARB, vbo);
glBindBufferARB(GL_ELEMENT_ARRAY_BUFFER_ARB, vbo_idx);

glEnableVertexAttribArray(0);
glVertexAttribPointer(0, 2, GL_FLOAT, false, stide, offset_0); // xy
glEnableVertexAttribArray(1);
glVertexAttribPointer(1, 3, GL_FLOAT, false, stide, offset_1); // color

glDrawArrays(GL_QUADS, 0, 24);
glDrawElements(GL_QUADS, 24, GL_UNSIGNED_INT, 0);
```

Вопросы

